



## **Методика оценки интервалов когерентности радиотрактов РЛС**

**Д.С. Очков, Е.А. Силаев, И.С. Формальнов**

*Рассмотрена методика оценки интервалов когерентности радиотрактов РЛС различных диапазонов частот. Приведены расчеты достижимой длительности когерентного сигнала и дальности действия когерентных локаторов.*

### **Estimation of radar's intervals of coherence**

**D.S. Ochkov, E.A. Silaev, I.S. Formalnov**

*Method of estimation of radar's intervals of coherence is discussed. Calculations of possible coherence intervals are given.*

### **Введение.**

Использование в РЛС когерентного формирования и обработки сигналов значительно повышает энергетический потенциал и точностные характеристики радиолокаторов [1], [2]. Представляет интерес оценить достижимые интервалы когерентности радиотрактов РЛС различных диапазонов частот, дать рекомендации по их проектированию.

В работе [3] даны оценки интервалов когерентности отдельных источников высокостабильных колебаний миллиметрового диапазона с использованием экстраполяции спектральной плотности фазовых шумов в область малых отстроек частоты. В данной работе сделана попытка оценить достижимые интервалы когерентности с учетом особенностей построения радиотракта РЛС с использованием результатов измерений кратковременной нестабильности частоты различных опорных кварцевых генераторов.

### **Методика оценки.**

Упрощенно структурную схему радиотракта РЛС с точки зрения преобразования сигнала по частоте можно представить следующим образом (см. рис. 1).

Все опорные, гетеродинные и синхросигналы формируются от одного высокостабильного опорного генератора. Используются одни и те же опорные и гетеродинные сигналы при переносе зондирующих сигналов с промежуточной частоты (ПЧ) на

несущую частоту и преобразовании эхо-сигналов с несущей на ПЧ, а также при формировании и обработке сигналов на ПЧ. Такая структура построения радиотракта выбрана с целью увеличения интервала когерентности.

Для успешного проведения когерентной обработки сигнала длительностью  $T_c$  после его формирования на ПЧ, переноса на несущую частоту, излучения, отражения от объекта локации, приема, преобразования на ПЧ необходимо, чтобы разность фаз между началом и концом сигнала на входе устройства обработки, возникающая из-за флюктуаций частоты опорных и гетеродинных колебаний (т.е. за вычетом регулярного набега фазы), была не более заданной величины  $\Delta\Psi$ .

Без ограничения общности примем, что сигнал представляет собой непрерывное гармоническое колебание длительностью  $T_c$ . Положим также, что случайное относительное отклонение частоты опорного генератора на временном интервале  $t$  в момент времени  $t$  характеризуется дисперсией Аллана  $\delta f(t,t)$ , принятой для оценки кратковременной нестабильности частоты [4].

Найдем максимально возможную разность фаз между началом и концом сигнала длительностью  $T_c$  на входе устройства обработки (после квадратурного преобразователя или какого-либо другого устройства, выделяющего фазу сигнала), предположив, что объект локации расположен на расстоянии  $R_u$ , а время распространения сигнала до цели и обратно  $T_3 = 2R_u/c$ .

Фаза начала сигнала на входе устройства обработки:

$$\Psi_{HAC} = \Psi_0 + 2pf_{\pi\gamma}(t_0 + T_3) + 2pf_\gamma(t_0 + T_3) - 2pf_\gamma(t_0 + T_3 + df(T_3, t_0)T_3) + \\ + 2pf_{\pi\gamma}(t_0 + T_3 + df(T_3, t_0)T_3) \quad (1)$$

Фаза конца сигнала на входе устройства обработки

$$\Psi_{КОН} = 2pf_{\pi\gamma}(t_0 + T_c + T_3 + df(T_c, t_0)T_c) + 2pf_\gamma(t_0 + T_c + T_3 + df(T_c, t_0)T_c) - \\ - 2pf_\gamma(t_0 + T_3 + T_c + df(T_c, t_0)T_c + df(T_3, t_0 + T_c)T_3) + \\ + 2pf_{\pi\gamma}(t_0 + T_3 + T_c + df(T_3, t_0)T_3 + df(T_c, t_0 + T_3)T_c) + \Psi_0 \quad (2)$$

Найдем разность фаз

$$\Delta\Psi_c = 2pf_{\pi\gamma}(2T_c + df(T_c, t_0)T_c + df(T_c, t_0 + T_3)T_c) + \\ + 2pf_\gamma(-df(T_3, t_0 + T_c)T_3 + df(T_3, t_0)T_3) \quad (3)$$

Нас интересует только возможный паразитный набег фазы. Поэтому из выражения (3) уберем регулярный набег  $2\pi f_{\pi\gamma} 2T_c$ , а остальное преобразуем к виду

$$\Delta\Psi_{c\_MAX} = 4pf_{\pi\gamma}df(T_c)T_c + 4pf_\gamma df(T_3)T_3 \quad (4)$$

В случае, если в радиотракте производится п преобразований по частоте при переносе зондирующих сигналов с ПЧ на несущую частоту и преобразовании эхосигналов с несущей на ПЧ, выражение (4) примет вид

$$\Delta\Psi_{c\_MAX} = 4pf_{\pi\gamma}df(T_c)T_c + \sum_{i=1}^n 4pf_i df(T_3)T_3 \quad (5)$$

С учетом того, что

$$f_{HEC} = \sum_{i=1}^n f_{Ti} \pm f_{pq}, \quad (6)$$

преобразуем (5) к виду

$$\Delta\Psi_{C\_MAX} = 4pf_{pq}df(T_c)T_c + 4p(f_{HEC} \pm f_{pq})df(T_3)T_3 \quad (7)$$

Известно [5], что величина несущей частоты обычно на порядок превышает значение  $f_{pq}$ . Из этого следует, что при традиционном построении радиотракта величиной  $f_{pq}$  во втором слагаемом выражения (7) можно пренебречь.

Отметим, что при выводе конечных выражений не учитывались изменения во времени (на интервале  $T_c$ ) комплексного коэффициента передачи среды распространения и комплексного коэффициента отражения объекта, а принимались во внимание только фазовые флуктуации радиотракта РЛС.

### Анализ результатов.

Из (7) можно сделать ряд выводов и рекомендаций для увеличения интервала когерентности радиотракта РЛС, а именно:

1) Возможная длительность когерентного сигнала не зависит от величины несущей частоты и дальности действия когерентного локатора, а определяется параметрами опорного генератора и значением промежуточной частоты, на которой производится формирование и обработка сигнала.

2) Для увеличения длительности когерентного сигнала следует снижать промежуточную частоту, на которой производится формирование и обработка сигнала.

3) Возможная дальность действия когерентного локатора не зависит от длительности когерентного сигнала, а определяется параметрами опорного генератора и значением несущей частоты.

4) Для увеличения дальности действия следует снижать несущую частоту.

Для расчетов по формуле (7) примем довольно жесткое, но распространенное в радиолокации условие  $\Delta\Psi = \pi/20$ .

Тогда зависимости требуемой дисперсии Аллана  $\delta f(t)$  опорных колебаний для локаторов X (кривая 1), Ka (кривая 2) и W (кривая 3) диапазонов от величины интервала когерентности  $t$ , т.е. от заданных  $T_3$  или  $R_u$ , примут вид, представленный на рис. 2. На этом же рисунке приведена зависимость  $\delta f(T_c)$  при  $f_{pq} = 100$  МГц (кривая 10).

Понятно, что для обеспечения заданной дальности действия того или иного когерентного локатора кривые дисперсии Аллана  $\delta f(t)$  реальных опорных генераторов должны располагаться под приведенными на рисунке расчетными кривыми на всем протяжении заданной дальности. Тоже самое касается и обеспечения заданной дли-

тельности когерентного сигнала.

На рис.2 представлены также экспериментальные кривые дисперсии Аллана опорных кварцевых генераторов разных диапазонов (2,5 МГц – кривая 4 [6], 5 МГц – кривая 5 [8], 10 МГц – кривая 6 [7], 110 МГц – кривая 7 [9], 160 МГц – кривая 8 , 308 МГц – кривая 9 ). Кварцевые генераторы на частоты 160 МГц и 308 МГц разработаны авторами и результаты измерений дисперсии Аллана представлены в данной статье впервые.

### Заключение.

Из анализа приведенных зависимостей следует, что высокочастотные кварцевые генераторы (100-400 МГц) обеспечивают возможную дальность действия когерентного локатора до 2 тысяч километров в W диапазоне, до 5 тысяч километров в Ка диапазоне и до 20 тысяч километров в X диапазоне. При этом обеспечивается длительность когерентного сигнала до 1-2 секунд.

Что касается прецизионных генераторов диапазона 2-10 МГц, то они реализуют длительность когерентного сигнала в десятки секунд, но требуется более детальное исследование поведения дисперсии Аллана на временных интервалах 1-10 мс, чтобы сделать заключение о возможности их применения в когерентных локаторах Ка и W диапазонов.

Видимо, достоинства низкочастотных и высокочастотных кварцевых генераторов можно объединить, используя их совместно в схеме с ФАПЧ [10].

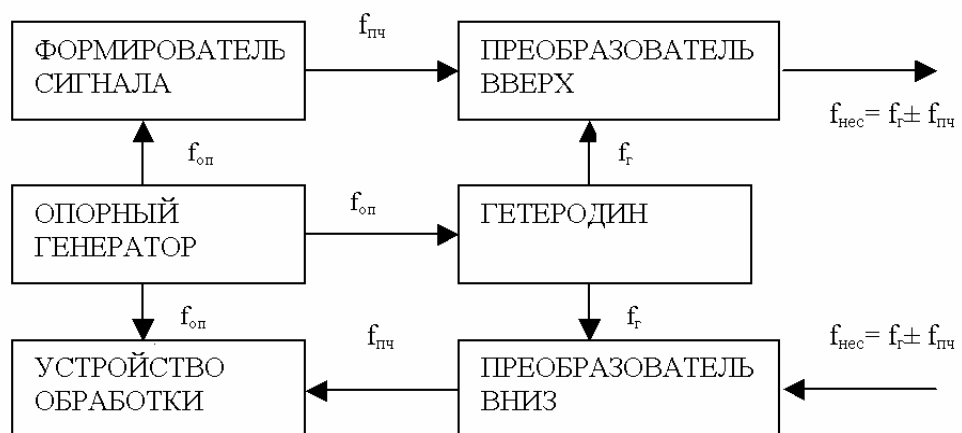


Рис. 1. Структурная схема радиотракта РЛС.

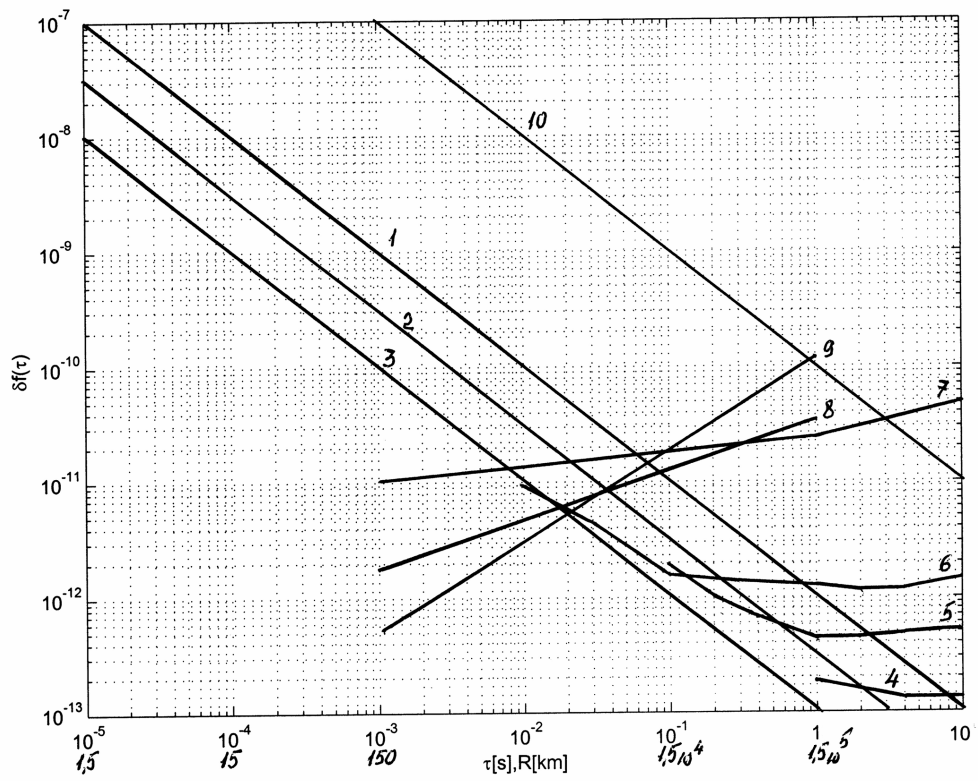


Рис. 2. Кривые оценки когерентности радиотракта РЛС по дисперсии Аллана.

## ЛИТЕРАТУРА

1. A.Moussessian, R.L.Jordan, E.Rodriguez, A.Safaeinili, T.L.Akins,W.N.Edelstein, Y.Kim, S.P.Gogineni. A new coherent radar for ice sounding in Greenland.- Proc. IEEE, 2000.
2. Г.П. Кобельков, А.А. Курикша, Б.А. Левитан, Д.С. Очков, Г.К. Соловьёв, А.А. Толкачёв, С.А. Топчиев, В.Е. Фарбер. Обоснование возможности и целесообразности создания РЛС радиовидения в миллиметровом диапазоне длин волн. – Радиотехника, 2006, № 1.
3. Д.В. Богомолов, Д.С. Очков. Оценка интервалов когерентности высокостабильных колебаний источников миллиметрового диапазона. – Радиотехника и электроника, 1995, № 1.
4. D.W. Allan and Y.A. Barnes. A modified “Allan variance” with increased oscillator characterization ability. – Proc. 35<sup>th</sup> Ann. Frequency Control Symposium, May 1981, pp. 470-475.
5. Справочник по радиолокации, т.3, под ред. М. Сколника, М. Советское радио, 1979.
6. Y.Y. Gagnepain, M. Oliver, F.L. Walls. Excess noise in quartz crystal resonators. - Proc. 37<sup>th</sup> Ann. Frequency Control Symposium, June 1983, pp. 218-225.
7. S.V. Anastasyev, A.A. Volkov, Y.L. Vorokhovsky. A new high stability DOCXO. Statistics of results of frequency stability measurements.- Proc. 48<sup>th</sup> IEEE Int. Frequency Control Symposium, May 2002, pp. 633-638.
8. Y.L. Vorokhovsky, S.V. Anastasyev, A.A. Volkov. The significant improvement of basic OCXO for time and frequency standarts.- Proc. 49<sup>th</sup> IEEE Int. Frequency Control Symposium, May 2003, pp. 440-443.
9. E.A. Silaev, D.V. Bogomolov. Low noise ovenized quartz oscillator.- Proc. 44<sup>th</sup> IEEE Int. Frequency Control Symposium, May 1998, pp.349-352.
10. Е.Г. Молчанов, Д.С. Очков, Е.А. Силаев, И.С. Формальнов, Д.В. Чубаров. Гетеродины СМ-диапазона с низким уровнем фазовых шумов. – Радиотехника, 2006, № 1.